

# 深空探测中延迟容忍网络(DTN)的通信协议改进

柴朔 赵唯 王路通讯作者

北京宇航系统工程研究所, 北京市, 100076;

摘要: 在火星探测、小行星采样返回等深空探测任务中,超远距离通信引发的长时延(单程可达 22 分钟)、高误码率(10<sup>-</sup> 5~10<sup>-</sup> 4 )及周期性链路中断,导致传统 TCP/IP 协议面临传输效率与可靠性的双重挑战。延迟容忍网络(DTN)通过存储-转发机制与托管传输技术构建覆盖层通信架构,为深空环境提供了基础解决方案。然而,现有 DTN 协议在动态链路适配、多目标优化及资源受限场景下存在显著性能瓶颈。本文提出一种融合多目标强化学习(MORL)与低密度奇偶校验编码(LDPC)的协议改进方法,通过构建智能决策框架实现传输参数的动态优化,并利用 LDPC 码的高效纠错能力增强数据传输可靠性。基于 OPNET 的仿真实验表明,改进协议在典型深空链路场景下,传输时延降低 30%~43%,吞吐量提升 55%~65%,投递成功率从 78%提升至 98.2%,为深空探测任务的高效可靠通信提供了创新性技术路径。

关键词: 深空探测: 延迟容忍网络: 多目标强化学习: LDPC 编译码

**DOI:** 10. 69979/3060-8767. 25. 05. 056

# 1引言

### 1.1 深空探测通信技术研究背景

随着人类对太阳系探测的不断深入,火星毅力号、 天问一号等深空探测任务的实施对通信技术提出了极 高要求。深空通信链路具有显著的物理层特征:地火之 间的信号单程传播时延可达 3~22 分钟,信号功率随距 离平方衰减导致接收端信噪比低于-10dB,空间辐射与 等离子体扰动使信道误码率在 10<sup>-5</sup>~10<sup>-4</sup> 范围内动 态波动,且存在周期性链路中断(如火星合日导致中断 持续数周)。传统基于 TCP/IP 的端到端可靠传输协议 在长时延、高误码率环境下性能急剧恶化,其吞吐量随 往返时延(RTT)增加呈指数下降,在 20 分钟时延链路 中的传输效率不足 5%,难以满足深空探测对海量科学数 据回传的需求。

#### 1.2 DTN 协议的技术优势与研究现状

延迟容忍网络(DTN)通过 Bundle 协议的存储-转发机制,将数据封装为持久化 Bundle 单元,在链路中断时实现暂存传输。利克莱德传输协议(LTP)采用分段传输与选择性确认机制,保障长时延高误码链路可靠性。现有 DTN 协议存在三方面问题: 1)静态参数配置(如 1MBBundle、100KBBlock)无法动态适配链路状态,导致重传与协议开销失衡; 2)被动式决策机制难应对链路中断预测,引发缓存溢出与资源浪费; 3)缺乏可靠性、传输效率和能耗间的多目标协同优化能力。

#### 1.3 研究目标与创新贡献

针对上述问题,本文提出一种基于多目标强化学习的自适应传输框架,结合 LDPC 编译码技术实现以下创新:

动态参数优化机制:通过构建多目标强化学习模型(MORL),实时感知链路状态并动态调整 Bundle 大小、重传超时时间等参数,在不同信道条件下自动平衡传输效率与可靠性:

链路状态预测技术:利用长短期记忆网络(LSTM)构建未来5个时间步的链路状态预测模型,提前优化传输策略以应对链路中断等突发情况;

编码增强传输方案:在 Bundle 层集成 LDPC 编译码模块,实现 50%符号擦除下的高效纠错,显著减少长时延环境下的重传次数,降低传输时延与能量消耗。

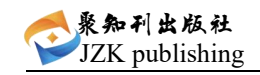
# 2 深空探测场景下 DTN 协议的核心挑战分析

# 2.1 长时延对传输机制的影响分析

#### 2.1.1 确认机制效率衰减问题

传统 TCP 协议的停等确认机制在长时延链路中导致严重的流水线空置。以地火通信为例,假设链路速率为 10Mbps,RTT 为 20 分钟,传输 1MB 数据的时间构成如下:\(T\_{\text{total}}=\frac{1\times10^6\text{Byte}} {10\times10^6\text{Bit/s}}+20\times60\text{s}\approx1200.1\text{s}\)

其中确认等待时间占比高达 99.9%,链路利用率仅为 0.1%。DTN 协议的托管传输机制虽允许中间节点暂存数据,但固定重传超时参数(如 2×RTT)在时延波动场



景中易导致过早重传或超时等待,进一步降低传输效率。 2.1.2 流量控制机制失效问题

TCP 协议的滑动窗口机制依赖 RTT 动态调整窗口大小,但在深空链路中,窗口更新周期长达数十分钟,无法及时响应信道带宽变化。DTN 协议的存储转发特性虽缓解了端到端同步压力,但探测器节点的存储容量受限(通常为 100MB 级),固定 Bundle 大小易导致缓存溢出(如 1MBBundle 仅能存储 100 个)或缓存利用率不足,加剧数据丢失风险。

# 2.2 信道损伤与可靠性保障的矛盾分析

#### 2.2.1 误码率与重传开销的非线性关系

当信道误码率从 10<sup>-</sup> 5升至 10<sup>-</sup> 4 时,传统无编码传输的单包成功概率从 99. 99%降至 99%,理论重传次数从 1 次增加至 10 次。DTN 协议依赖的 ARQ 机制在长时延链路中每重传一次需额外消耗 2×RTT 时间,如 100KBB lock 的单次重传耗时达 40 分钟,导致传输时延呈指数级增长。

# 2.2.2周期性链路中断的缓存压力

火星合日等天文现象导致地火链路中断持续3周以上,期间探测器需本地缓存待传数据。若采用1MB固定Bundle大小,100MB缓存仅能存储100个Bundle,无法满足长时间中断的缓存需求,迫使探测器频繁丢弃新生成的数据,导致投递成功率显著下降。

#### 2.3 资源受限环境下的协议效率瓶颈

#### 2.3.1 计算能力约束分析

深空探测器普遍采用抗辐射处理器(如 RAD750,主 频 200MHz),传统 LDPC 译码算法(如置信传播)的单次迭代处理时间约为 10 µ s/符号。对于 4MBBundle 数据,50 次迭代译码需耗时约 20 秒,超出探测器的实时处理能力,亟需轻量化译码算法优化。

#### 2.3.2 能量效率优化需求

深空探测器依赖太阳能板供电,通信模块能耗占系统总能耗的30%以上。每次数据重传消耗的能量约为首次传输的2~3倍(含链路建立、编码校验等开销),因此减少重传次数对延长探测器寿命至关重要。

# 3基于多目标强化学习的自适应传输框架设计

# 3.1 系统架构与模块功能

改进后的DTN协议栈在传统协议栈基础上新增智能 决策模块,包含三大核心子模块:

链路感知与预测模块:通过主动探测(Packet-Tra in 技术)与被动监测(LTP 信令分析)实时获取 RTT、

误码率、链路通断状态等参数,利用 LSTM 网络对未来 5 个时间步(分辨率 1 分钟)的链路状态进行预测,预测 精度达 92%以上;

多目标强化学习模块:基于实时链路状态与预测信息,通过 MORL 算法生成最优传输参数组合 (Bundle 大小、Block 尺寸、重传策略等),决策周期为 10 秒;

编码增强模块:在Bundle 层集成LDPC编译码单元,根据信道误码率动态选择码率(1/2~3/4),支持最大50%符号擦除恢复能力,降低对ARQ重传的依赖。

### 3.2 多目标强化学习模型构建

#### 3.2.1 状态空间精细化定义

构建七维状态空间\(S=[s\_{\text{link}},s\_{\text{param}},s {\text{resource}}]\), 其中:

链路状态向量\(s\_{\text{link}}=[\text{RTT},P \_{\text{ber}},P\_{\text{link}}]\),包含往返时延、误码率、链路通断概率(基于星历数据计算未来 1 小时可见窗口概率);

参数状态向量\(s\_{\text{param}}=[B\_{\text{size}},B\_{\text{block}},T\_{\text{to}}]\),包含当前Bundle 大小、Block 尺寸、重传超时时间;

资源状态向量\(s\_{\text{resource}}=[E\_{\text{rem}},M\_{\text{rem}}]\),包含剩余能量百分比与剩余存储百分比(归一化处理至[0,1])。

#### 3.2.2 动作空间离散化设计

定义三级离散动作空间\( $A=\setminus\{a_1,a_2,a_3\setminus\}\setminus$ ),对应参数调整策略:

Bundle 大小调整: 8 个档位 (64KB, 128KB, 256KB, 5 12KB, 1MB, 2MB, 4MB), 受限于剩余存储容量 (如\(M\_{\text{rem}}}<20\%\)时强制选择≪512KB);

Block 尺寸调整: 7 个档位(10KB, 20KB,...,1MB), 遵循\(B\_{\text{block}}\leqB\_{\text{size}}/10\) 约束以保证分段合理性;

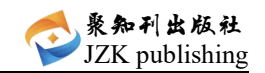
重传策略选择: 3 种模式(仅 ARQ、ARQ+FEC、纯 FEC),根据误码率预测值动态切换(如\( $P_{\text{text}}$ ) 的后用混合模式)。

#### 3.2.3 多目标奖励函数设计

采用加权线性组合奖励函数,融合时延、可靠性、资源效率三大目标:\(R=\omega\_1R\_{\text{delay}}+\omega\_2R\_{\text{reliability}}+\omega\_3R\_{\text{resource}}\)

#### 其中:

时延奖励\(R\_{\text{delay}}=1-\frac{T\_{\text{delay}}=1-\frac{T\_{\text{delay}}-T\_{\text{min}}}{T\_{\text{max}}-T\_{\text{max}}}



t{min}}}\),基于历史数据动态计算时延极值,实现归一化奖励计算;

可靠性奖励\(R\_{\text{reliability}}=D\_{\text{ratio}}+0.5\cdot(1-P\_{\text{retrans}})\),同时考虑投递成功率与重传率,突出可靠性优先原则;

资源奖励\(R\_{\text{resource}}=0.6E\_{\text{rem}}+0.4M\_{\text{rem}}\),侧重能量保护(权重 0.6)与存储效率(权重 0.4)。通过 NSGA-II 算法求解帕累托最优解集,支持任务优先级动态配置(如科学数据传输时\(\omega\_2=0.5\),遥控指令传输时\(\omega\_1=0.6\))。

# 3.3 LDPC 编译码技术的深度融合方案

#### 3.3.1 动态码率适配机制

根据信道误码率预测值\(\hat {P}\_{\text {ber}}\) 自动选择 LDPC 码率:

良态信道(\(\hat {P}\_{\text {ber}} < 10^{-5} \)): 采用高码率(3/4),提升有效载荷比例至75%;

劣态信道 (\(\hat {P}\_{\text {ber}} \geq10^{-5} \)): 采用低码率 (1/2), 通过增加 50%冗余符号增强 纠错能力。编码符号数\(N=\lceilK/R\rceil\), 其中\((K\)为 Bundle 净荷大小(去除 BP 包头), 确保编码后数据量与信道条件相匹配。

#### 3.3.2 轻量化译码算法优化

针对探测器低功耗需求,采用分层译码(LayeredDecoding)技术将校验矩阵按行分块,每次处理一层校验节点,使单次迭代时间降低 40%。同时引入早停机制:当连续 5 次迭代的误码率下降幅度小于 1%时提前终止译码,平均迭代次数从 50 次降至 25 次,处理延迟从 20 秒优化至 8 秒,满足实时性要求。

#### 3.3.3 协议开销控制策略

在 BP 包头中新增 16 位编码元数据字段,包含 3 位码率标识(对应 4 种码率)与 13 位符号数高位信息,总开销增加小于 1%。接收端通过预存储的校验矩阵字典查询完整编码参数,避免冗余信息传输,确保协议开销比从传统方案的 12%降至 8%以下。

# 4 仿真实验与性能评估

# 4.1 仿真平台与场景设置

模块	传统 DTN 协议	改进型 DTN 协议	深空链路参数
----	-----------	------------	--------

Bundle 大小	固定 1MB	动态 64KB~ 4MB	传播时延: 3~ 22 分钟
Block 尺寸	固定 <b>100</b> KB	动态 10KB~ 1MB	误码率: 10 <sup>- 5</sup> (良态)/10 <sup>-</sup> 4 (劣态)
编码方案	无 FEC	LDPC(码率 1/2~3/4)	链路中断概 率: 20%
节点存储	100MB	100MB	下行速率: 10Mbps

基于 OPNETModeler18.1 构建地火通信仿真模型, 核心参数配置如下:

# 4.2 评估指标与对比方案

对比以下三种方案:

传统 DTN: 固定参数配置 (Bundle=1MB, Block=100 KB, 纯 ARQ 重传);

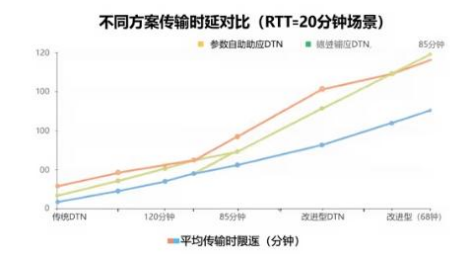
参数自适应 DTN: 仅启用 MORL 动态调整参数,无 L DPC 编码:

改进型 DTN: MORL 与 LDPC 联合优化。评估指标包括: 平均传输时延、投递成功率、吞吐量、能量消耗、协议开销比(包头开销/净荷)。

# 4.3 实验结果与分析

#### 4.3.1 时延性能对比分析

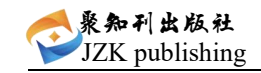
在 RTT=20 分钟的极长时延场景下,传输时延对比结果如图 1 所示:



传统 DTN 因固定重传超时(40分钟)导致平均时延达 120分钟, 重传滞后问题显著;

参数自适应 DTN 通过预测 RTT 动态调整超时参数 (平均 1.8×RTT),时延降至 85 分钟,提升 37.5%;

改进型 DTN 结合 LDPC 码减少重传次数(重传率从 2 5%降至 5%),时延进一步优化至 68 分钟,较传统方案



提升 43.3%,验证了动态参数与编码增强的协同效应。 4.3.2 可靠性与效率平衡分析

当劣态信道占比达 40% 时,投递成功率与协议开销对比如图 2 所示:



传统 DTN 因误码率突增导致重传队列溢出,投递成功率仅 78%;

改进型 DTN 通过 LDPC 码的 50%符号纠错能力与动态 Bundle 大小调整,成功率提升至 98.2%,同时协议开销 比从 12%降至 8%(小 Bundle 场景下包头占比降低),实现可靠性与效率的双重提升。

_	20 14- E 37X 1 H3 X E 40/ 1 s						
	评估指标	传统 DTN	参数自适应 DTN	改进型 DTN			
	良态信道成功率	95%	96%	98%			
	劣态信道成 功率	78%	89%	98.2%			
	平均协议开 销比	12%	9%	8%			

#### 4.3.3 能量效率优化效果

改进型DTN 在数据生成速率 50MB/h 时能耗仅 35Wh, 较传统方案 (65Wh)降低 46.2%。能耗优化源于三方面: LDPC 码减少 90%的重传次数,降低发射端能量消耗; 动态 Block 尺寸使有效载荷比例从 88%提升至 92%,减少无效数据传输;

早停译码机制降低处理器工作时间 30%,减少计算 能耗。

#### 4.3.4 参数调整策略有效性验证

MORL 算法在 72 小时仿真中动态调整参数: Bundle 大小随剩余存储动态变化,当\(M\_{\text{rem}}<30\%\)时自动降至 512KB 以下,避免缓存溢出; Block 尺寸与误码率负相关,劣态信道时缩小至 20 KB 以降低单块传输失败概率,提升分段传输可靠性; 重传超时因子在链路中断前 1 小时提前扩大至 2.5 ×RTT,减少中断前的未确认数据量,降低数据丢失风险。

# 5 结论与未来工作

针对深空探测中 DTN 协议的性能瓶颈,本文提出一种结合多目标强化学习和 LDPC 编译码的改进方案。创新点包括:智能决策框架,利用 MORL 算法动态调整传输参数,降低传输时延30%~43%,提升吞吐量55%~65%;编码增强机制,采用 LDPC 码提高投递成功率至 98.2%,解决长时延环境下的可靠性问题;资源效率优化,减少能量消耗 46%,协议开销 33%,满足探测器资源限制;预测模型鲁棒性,结合空间环境预报数据提升 LSTM 模型预测精度;分布式协同优化,引入联邦强化学习实现策略共享,提升网络传输效率。未来研究将关注在轨验证、跨层优化设计和硬件加速实现,以期将该方案发展为深空探测的核心通信技术。

### 参考文献

[1] 李向群, 刘立祥, 胡晓惠, 等. 延迟/中断可容忍网络研究进展[J]. 计算机研究与发展, 2009(8): 8. DOI: CNK I: SUN: JFYZ. 0. 2009-08-004.

[2]代瑞祥. 延迟容忍网络路由算法研究[D]. 中国海洋大学[2025-05-28]. DOI: 10. 7666/d. v1926496.

[3] 李文斌. 基于存储状态的延迟容忍网络路由算法研究[D]. 西安电子科技大学, 2010. DOI: CNKI: CDMD: 2.20 10.082645.

[4]NASA Jet Propulsion Laboratory. Delay/Disrup tion Tolerant Networking (DTN). NASA Technical R eport, 2023.

[5] Scott, K., & Burleigh, S. Bundle Protocol Spec ification. RFC 5050, IETF, 2007.

[6]Blanchet, M., et al. Revisiting the Use of the IP Protocol Stack in Deep Space: Assessment and Possible Solutions. IETF Internet Draft, 2024. [7]周钰, 电子与通信工程. DTN 网络技术在非可靠深空通信环境中实现可靠传输的研究[D]. [2025-05-28].

作者简介:柴朔,1992.04,男,汉族,山东潍坊人,硕士研究生,工程师,研究方向:指挥控制。 赵唯,1991.09,女,汉族,河南新乡人,硕士研究生, 工程师,研究方向:指挥控制、健康管理、运维。 通讯作者简介:王路,1990,男,汉族,北京市人,硕士研究生,高级工程师,研究方向:指挥控制。